



جناب آقای عباسعلی قزل سوکلو

موضوع: پذیرش نهایی مقاله

با سلام،

احتراماً، با کمال مسرت به استحضار می رساند مقاله جنابعالی تحت عنوان :

مدل سازی عددی جریان آبهای کم عمق با وجود امواج تیز ایستا و پویا

بر اساس نظرات داوران و هیئت تحریریه برای چاپ در مجله فنی و مهندسی
دانشگاه آزاد اسلامی مورد پذیرش قرار گرفته است.

با تشکر و احترام

مجله فنی و مهندسی

دانشگاه آزاد اسلامی مشهد

آدرس: مشهد، دانشگاه آزاد اسلامی مشهد، دانشکده فنی و مهندسی، دبیرخانه مجله فنی مهندسی

Website:iaumjournals.com

e-mail: teJournal@yahoo.com
info@iaumjournals.com

تلفن، فکس: ۰۵۱۱-۶۶۲۵۰۵۵

مجله فنی مهندسی

دانشگاه آزاد اسلامی مشهد

ISSN 1735-1985

برنامه‌ریزی استفاده از واحدهای تولید پراکنده (DG) در شبکه‌های توزیع به منظور حداقل سازی رفاه اجتماعی ۱
رضا قاضی، اسماعیل قدیریان

بررسی تأثیرات عوامل غیر خطی بر روی رفتار سیستم‌های قدرت ۱۵
سپهر سلطانی، رضا قاضی، ناصر پریز

مدل‌سازی عددی جریان آب‌های کم عمق با وجود امواج تیز ایستا و پویا ۲۷
عباسعلی قزل سوقلو، محمدرضا جعفرزاده

تحلیل و کنترل پدیده وی انتری با استفاده از شناسایی هدایت‌های یونی در بافت میکاردن بطن ۴۱
زینب السادات دستغیب، مرتضی خادمی، اسد عازمی، حسین قلی زاده نرم، مهندوش شجاعی، مهنداز اروانه، وحید رضا سبزواری

بهبود پایداری کنترل کننده GPC در کنترل سیستم‌های غیر حداقل فاز ناپایدار و استفاده موردنی آن در کنترل Platform ۶۵
مهدی یعقوبی، محمد حائری

تعیین ارتباط بین عناصر ساختاری و کانی زایی مس به منظور پتانسیل یابی مناطق جدید با استفاده از تکنیک‌های سنجش ۷۹
از دور و GIS در محدوده چهارگانبد، استان کرمان
رضا درخشنانی، علی مهرابی، زینب باغفلکی

نقد روش اقلیم‌بندی دومارتن برای بارش حداقل روزانه در ایران به کمک روش گشتاورهای خطی ۹۳
فرهاد خامچی مقدم، حیثت رضائی پژند

بررسی استحکام کششی و سطوح شکست کامپوزیت‌های Al/ZrO₂ ساخته شده به روش گردابی (یادداشت پژوهشی) ۱۰۵
محمدامین باغچه سرا، حسین عبدی‌زاده، حمیدرضا بهاروندی

A CMOS Ring Oscillator VCO with Quadrature Outputs and High-Tuning Range

Mahdi Parvizi, A. Nabavi 117

Heat Transfer Modeling and Thermal Analysis for a Fluidized Bed (Research Note)
Hamid Reza Goshayeshi, John Missenden 127

چکیده‌های انگلیسی 135

مدل سازی عددی جریان آب‌های کم عمق با وجود امواج تیز ایستا و پویا

عباسعلی قزل سوفلو^(۱)

محمد رضا جعفرزاده^(۲)

(۱) استادیار، گروه عمران، دانشکده مهندسی، دانشگاه آزاد اسلامی واحد مشهد

(۲) دانشیار، گروه عمران، دانشکده مهندسی، دانشگاه فردوسی مشهد

چکیده امواج تیز در کanal‌های باز از تغییر ناگهانی در عمق و سرعت جریان حاصل می‌شوند. حل کننده‌های ریمن با سود جستن از نظریه مشخصه‌ها، بدون ساده سازی معادلات حاکم، به شکل مطلوبی قادر به شبیه سازی ناپیوستگی‌ها از جمله امواج تیز می‌باشند. اگر موقعیت و مشخصات امواج با زمان تغییر پیدا کند، به عبارت دیگر موج متحرک باشد، به آن "موج تیز پویا" گفته می‌شود. به عنوان مثال امواج ناشی از شکست سد و یا باز و بسته شدن ناگهانی دریچه‌ها که به واسطه تیزی پیشانی موج به عنوان امواج تیز پویا طبقه بندی می‌شوند. در صورتی که موقعیت و مشخصات موج پس از دائمی شدن جریان نسبتاً ثابت باقی بماند "موج ایستا" نامیده می‌شود. بنابراین پرش هیدرولیکی و امواج تولید شده در تبدیل‌ها و یا در اثر وجود مانع عرضی در مسیر جریان در جریان‌های فوق بحرانی در دسته امواج تیز ایستا قرار می‌گیرند. در این مقاله از حل کننده تقریبی ریمن به روش Roe برای شبیه سازی رفتار امواج تیز ایستا و پویا در جریان آب‌های کم عمق در یک و دو بعد، در کanal‌های باز استفاده شده است. در این راه از بعضی مسائل، با وجود حل تحلیلی آن‌ها، برای ارزشیابی و تصدیق نتایج استفاده شده است. با مقایسه نتایج عددی با برخی حل تحلیلی برخی مسائل می‌توان نتیجه گرفت که مدل عددی Roe به خوبی قادر به شبیه سازی یک و دو بعدی امواج تیز ایستا و پویا در جریان آب‌های کم عمق را دارد.

واژه‌های کلیدی جریان آب‌های کم عمق، حل کننده‌های ریمن، روشن Roe، ناپیوستگی، امواج تیز.

* عهده دار مکاتبات

نشانی: دانشگاه آزاد اسلامی واحد مشهد، دانشکده مهندسی، گروه عمران

پست الکترونیکی: ghezel@wali.um.ac.ir

تلفن: ۰۵۱-۶۶۲۴۸۱۳

آب‌های کم عمق نیز به کار برد شد. فنما و چادری در سال ۱۹۸۵ روش‌های بیم وارمینگ، گابوتی و مک کورمک را همراه با تکنیک لزجت مصنوعی، برای حل دو بعدی مسئله شکست سد به کار برند. در ابتداي دهه ۱۹۸۰، ایده روش ابقايی گودونف، برای حل معادلات اولر به کار برد شد. اين روش، بدون نياز به اعمال لزجت مصنوعی و يا ساده سازی معادلات حاكم، به شکل مطلوبی قادر به شبیه سازی ناپيوستگی ها می باشد.

رو در سال ۱۹۸۱، ون لیر در سال‌های ۱۹۷۷ - ۱۹۸۲ و اوشر و سولومون در سال ۱۹۸۲ از جمله دانشمندانی هستند که حل کننده‌های تقریبی ریمن را در معادلات اولر توسعه دادند. برای حذف نوسانات غیرفیزیکی در مجاورت موج تیز، هارتمن در سال ۱۹۸۳ ضابطه کاهش مجموع تغییرات فود. روش‌های نوع TVD که بعداً توسط سووبی در سال ۱۹۸۴ و یی در سال ۱۹۸۷ تکمیل شد، در دهه ۱۹۹۰ توسط بسیاری از محققین، برای حل معادلات جریان آب‌های کم عمق به کار گرفته شد. گلیستر در سال ۱۹۸۸ روش Roe را برای حل معادلات آب‌های کم عمق به کار برد.

الکرودو و گارسیا ناوارو در سال ۱۹۹۳ روش حجم محدود نوع گودونف را برای حل معادلات آب‌های کم عمق استفاده کردند. ژائو و همکاران در سال ۱۹۹۶، روش حل کننده تقریبی ریمن به روش اوشر و سولومون را برای شبیه سازی جریان غیر دائمی در رودخانه‌ها به کار برند. چیپادا و همکاران در سال ۱۹۹۸، روش Roe را برای مدل سازی جریان در تبدیل‌ها و امواج جزر و مدی، و یانگ و گریمان در سال ۲۰۰۰ مدل Roe-TVD را برای حل مسئله شکست سد با رسوب استفاده نمودند. ژوپو و رابرتس در سال ۲۰۰۰ مدل فلاکس متوسط وزنی WAF را برای محاسبه شکست سد به کار برند. تنسنگ در سال ۲۰۰۱ از روش‌های پایستار، با دقت زیاد برای روندیابی موج در کanal‌ها استفاده نمود. کالفی و همکاران در سال

۱- مقدمه

هنگامی که در کanal، عمق یا سرعت جریان به طور ناگهانی تغییر پیدا می کند، موج تیز؛ (Shock) به وجود می آید. به طور عمده، امواج تیز در جریان‌های فوق بحرانی تولید می شود؛ لیکن عبور جریان از حالت زیر بحرانی به فوق بحرانی نیز یک شاک محسوب می شود که به آن جریان گذار از حالت بحرانی (Transcritical flow) گفته می شود (همانند پرش هیدرولیکی). اگر موقعیت و مشخصات موج تیز با زمان تغییر پیدا کند، و یا موج تیز متحرک باشد، به آن "موج تیز پویا" گفته می شود. به عنوان مثال امواج ناشی از شکست سد و یا باز و بسته شدن ناگهانی دریچه‌ها از جمله امواج تیز پویا هستند. در صورتی که موقعیت و مشخصات موج تیز، پس از دائمی شدن جریان، نسبتاً ثابت باقی بماند "موج تیز ایستا" نامیده می شود. بنابراین پرش هیدرولیکی و امواج تیز تولید شده در تبدیل‌ها در اثر وجود مانع عرضی در مسیر جریان در جریان‌های فوق بحرانی به عنوان امواج تیز ایستا طبقه بندی می شوند. معادلات حاکم بر پویایی امواج تیز، همان معادلات جریان آب‌های کم عمق است . با توجه به غیر خطی بودن این معادلات، حل تحلیلی آن‌ها محدود به حالات ساده و یا مستلزم حذف جملات مهم معادلات می باشد؛ از این‌رو در حالات عمومی از روش‌های عددی به عنوان ابزاری سودمند برای حل معادلات مذکور استفاده می شود. از طرف دیگر شبیه سازی موقعیت و شکل شاک‌ها به علت تغییر ناگهانی وضعیت جریان در مجاورت آن‌ها، بسیار پیچیده است؛ بنابراین روش‌های عددی متعارف نظری روش چهار نقطه‌ای پریسمن؛ (Box Scheme, Preissman, 1961) قادر به تسخیر موقعیت ناپيوستگی ها نیستند. جمیسون برای حل معادلات اولر تکنیک، "lezجت مصنوعی" و "معادلات اصلاح شده" را به منظور حذف نوسانات غیرفیزیکی در مجاورت ناپيوستگی ها پیشنهاد کرد (Jameson et al., 1981).

$F(U)$ که در آن جا، U بردار متغیرهای ابقاء شده، (U) و $G(U)$ بردارهای فلاکس، به ترتیب در جهات x و y ، می‌باشد.

$$U = \begin{bmatrix} h \\ hu \\ hv \end{bmatrix} \quad (2)$$

$$F(U) = \begin{bmatrix} hu \\ hu^2 + 0.5gh^2 \\ huv \end{bmatrix} \quad (3)$$

$$G(U) = \begin{bmatrix} hv \\ huv \\ hv^2 + 0.5gh^2 \end{bmatrix} \quad (4)$$

در معادلات فوق، g ؛ شتاب جاذبه، h ؛ عمق جريان، (v) سرعت جريان در جهت (y) می‌باشد و $S(U)$ بردار جملات منبع است. در شناسایي و تسخیر شاک‌ها در معادلات آب‌های کم عمق، با نادیده گرفتن برخی اثرات فيزيکي، همچون نيروهای تنش سطحي ناشی از وزش باد، نيروي كريولييس، تبخير و بارش و تنها با منظور نمودن اثرات شيب بستر کanal و نيروي اصطکاك، بردار جملات منبع به شكل زير نوشته می‌شود.

$$S(U) = \begin{bmatrix} 0 \\ gh(s_{ox} - s_{fx}) \\ gh(s_{oy} - s_{fy}) \end{bmatrix} \quad (5)$$

در معادله فوق (s_{oy} و s_{fx} و s_{fy}) به ترتیب، شيب کف کanal و شيب اصطکاكی در جهت x و y می‌باشد. شيب اصطکاكی براساس رابطه مانینگ تخمين زده می‌شود.

۲۰۰۳ حل کننده تقریبی ریمن به روش HLL را برای شبیه سازی حرکت موج سیلانهای حدی در رودخانه‌ها به کار برداشت. قزل سوپلر و جعفرزاده در سال ۲۰۰۴، روش عددی Roe را برای شبیه سازی دو بعدی امواج تیز ایستای ناشی از وجود یک مانع عرضی در مسیر جريان فوق بحرانی به کار برداشتند. در این مقاله، حل کننده تقریبی ریمن به روش Roe برای شبیه سازی امواج تیز ایستا و پویا در جريان آب‌های کم عمق یک و دو بعدی استفاده می‌شود. با استفاده از نتایج آزمایشگاهی موجود در مسئله شبیه سازی پرش هیدرولیکی در یک بعد، ملاحظه گردید که مدل عددی به کار رفته به خوبی قابلیت تسخیر امواج تیز ایستا را دارد. هم‌چنان از مسائل آزمایشی استخدام شده نیز قابلیت مدل در شبیه سازی امواج تیز پویا مشخص گردید. امواج ناشی از شکست متواالی خاکریزها به عنوان یک مسئله یک بعدی و هم‌چنان پرش هیدرولیکی مایل، شکست دایک های متواالی، امواج ایستای ناشی از وجود یک خم زاویه دار در پلان یک کanal در دو بعد مدل خواهد گردید.

۲- معادلات حاكم

معادلات جريان آب‌های کم عمق در کanalهای باز با متوسط گيري در عمق از معادلات سه بعدی ناويستوكس به دست می‌آيد. در استخراج معادلات مذکور، سیال غیر قابل تراکم و توزیع فشار در عمق به صورت هیدرواستاتیک فرض می‌شود. این معادلات علاوه بر مسئله امواج در کanalهای باز، برای مسائل دیگری همچون شکست سد، جريان سیلان و امواج سونامی نیز قابل کاربرد است. شکل برداری معادله دیفرانسیلی جريان آب‌های کم عمق در حالت کلی به صورت زیر می‌باشد: (Toro, 2001)

$$\frac{\partial U}{\partial t} + \frac{\partial F(U)}{\partial x} + \frac{\partial G(U)}{\partial y} = S(U) \quad (1)$$

نوع TVD روش Roe حاصل می‌شود.

توابع محدود کننده به دو گروه: توابع محدود کننده فلاکس و توابع محدود کننده شیب، تقسیم بنده می‌شوند. یکی از معروف‌ترین توابع محدود کننده فلاکس، تابع Superbee است که در مدل سازی حاضر از آن استفاده شده است. (Toro, 2001)

$$\phi(r) = \max[0, \min(2r, 1), \min(r, 2)] \quad (8)$$

سایر اجزای رابطه (10) به صورت زیر است:

λ : مقادیر ویژه ماتریس ژاکوبی بردار فلاکس R : بردارهای ویژه راست ماتریس A و α : ضرایب خطی Roe است که به صورت روابط ذیل تخمین زده می‌شود (Toro, 2001):

$$\tilde{\alpha}_{i+1/2,j}^{1,3} = \frac{1}{2} \Delta h \pm \frac{1}{2c} \{ \Delta(uh) - u \cdot \Delta h \} \quad (9)$$

$$\tilde{\alpha}_{i+1/2,j}^2 = \Delta(vh) - v \cdot \Delta h \quad (10)$$

محاسبات عددی نشان داده است که روش

مرتبه اول متکی به بالادست، باعث میرایی پیشانی موج شاک می‌شود با اضافه نمودن جملات مرتبه دوم (مدل لاکس-وندروف) نوسانات غیر فیزیکی در مجاورت شاک تولید می‌شود؛ اما استفاده از مدل Roe-TVD به شکل بسیار مطلوبی قادر به شبیه سازی ناپیوستگی‌ها می‌باشد. (Ghezelsofloo and Jaefarzadeh, 2005)

۴- کاربردهای مدل عددی

در این بخش، کاربردهای مختلف روش عددی حل کننده تقریبی مسئله ریمن به روش Roe در مسائل متنوع آب‌های کم عمق یک و دو بعدی شامل موارد زیر بررسی خواهد شد. لازم به توضیح است که برخی کاربردها نظیر استفاده از نتایج آزمایشگاهی موجود و همچنین مسائل آزمایشی که دارای حل تحلیلی می‌باشند، دارای کاربرد ارزیابی قابلیت روش عددی استخدام شده هستند؛ در حالی که می‌توان مسائل دیگر

۳- حل عددی معادلات

معادلات ابقاری (Conservative) جریان آب‌های کم عمق در شکل دیفرانسیلی قابلیت تسخیر ناپیوستگی‌ها را ندارد. بدین منظور، باید از شکل انتگرالی آن استفاده شود (Toro, 2001). با انتگرال گیری از معادله حاکم، فرمول عمومی ابقاری به شکل رابطه (6) حاصل می‌شود:

$$U_i^{n+1} = U_i^n - \frac{\Delta t}{\Delta x} \left[F_{i+1/2}^n - F_{i-1/2}^n \right] + \Delta t S_i^n \quad (6)$$

در معادله فوق:

U^n : بردار متغیرهای حالت در گام زمانی n ، بردار فلاکس‌های عددی بین سلوی ورودی $F_{i \pm 1/2}$ بردار جملات منبع می‌باشد. در روش‌های زمانی و S_i^n بردار جملات منبع می‌باشد. در روش‌های حجم محدود، محاسبه فلاکس‌های عددی بسیار مهم است که در ادامه به آن پرداخته می‌شود.

۱-۳- روش Roe

فلاکس عددی در روش Roe برای معادلات آب‌های کم عمق به صورت صریح با استفاده از تکنیک متکی به بالادست، مطابق رابطه زیر به دست می‌آید (Glaister, 1988)

$$F_{i+1/2}^{\text{Roe-TVD}} = 0.5(F_i + F_{i+1}) - 0.5 \sum_{k=1}^3 \tilde{\alpha}_{i+1/2}^k |\tilde{\lambda}_{i+1/2}^k| \tilde{R}_{i+1/2}^k + 0.5 \sum_{k=1}^3 \Phi(\tilde{\lambda}_{i+1/2}^k) \tilde{\alpha}_{i+1/2}^k \left| \tilde{\lambda}_{i+1/2}^k \right| \left(1 - \frac{\Delta t}{\Delta x} \left| \tilde{\lambda}_{i+1/2}^k \right| \right) \tilde{R}_{i+1/2}^k \quad (V)$$

در این رابطه $(r)\phi$ تابع محدود کننده فلاکس است. اگر $\phi(r)=0$ باشد، مدل مرتبه اول متکی به بالادست (upwind) حاصل می‌شود و در صورتی که $\phi(r)=1$ باشد، مدل مرتبه دوم لاکس-وندروف به دست می‌آید. چنان‌چه $(r)\phi$ با توابع مختلف محدود کننده شیب یا محدود کننده فلاکس جایگزین شود، مدل

ایستا قرار دارد که بر اثر تغییر حالت جریان از فوق بحرانی به زیر بحرانی تشکیل می‌شود. این مسئله اصطلاحاً از نوع جریان‌های متغیر سریع (RVF) بوده و شبیه سازی آن می‌تواند حاکی از توانمندی یک مدل عددی باشد. پیش‌بینی محل تشکیل، مشخصات هیدرولیکی جریان در قبل و بعد از پرش، شامل اعمق اولیه و ثانویه، عدد فرود، سرعت جریان و همچنان میزان اتلاف انرژی، از اهداف اصلی شبیه سازی پرش هیدرولیکی بوده و کاربردهای وسیعی در طراحی سازه‌های هیدرولیکی از جمله سازه‌های اتلاف انرژی دارد. ون‌تی چاو در سال ۱۹۵۹ برای تعیین محل پرش، نیمرخ‌های سطح آب را برای جریان فوق بحرانی با شروع آن از بالا دست و جریان زیر بحرانی با شروع آن از پایین دست، محاسبه و تعیین نمود. در محاسبات انجام شده، نیروی مخصوص در دو طرف پرش، مساوی فرض شده است. مک‌کرکولد و خلیفه در سال ۱۹۸۳ روش انتگرال نواری را برای محاسبه طول پرش و نیمرخ سطح آب و فشار در بستر کanal به کار برداشتند. آبوت و هم‌کاران روش تفاضل محدود و کاتپودس در سال ۱۹۸۴ روش اجزای محدود را برای حل عددی معادلات سنت و نانت تارسیدن به حالت دائمی به کار برداشتند.

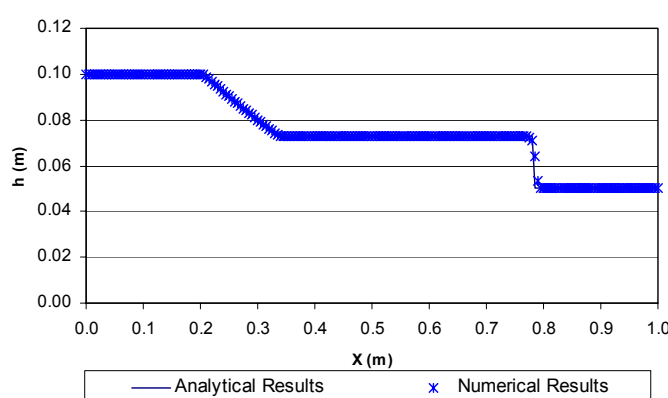
یک و دو بعدی را کاربردهای مدل عددی Roe در مسائل آب‌های کم عمق منظور نمود. در این راستا با توسعه یک برنامه کامپیوتری توسط مولفین، از مدل عددی Roe برای حل مسائل آب‌های کم عمق در کاربردهای مختلف آن استفاده شده است.

۱-۴- مسئله شکست یک بعدی سد

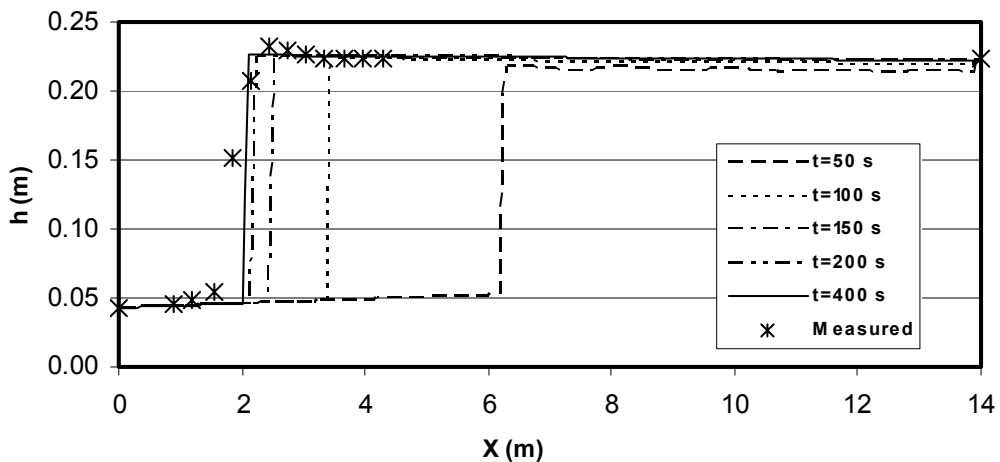
حل تحلیلی این مسئله برای یک کanal مستطیلی شکل افقی و بدون احتساب اثرات اصطکاک، توسط استوکر در سال ۱۹۵۷ ارائه گردید. یک کanal مستطیلی به طول واحد ($L=1\text{m}$) که سد در وسط آن قرار دارد ($X_{\text{dam}}=0.5\text{m}$) را در نظر بگیرید عمق آب در بالادست $h_u=0.1\text{m}$ و در پایین دست $h_d=0.05\text{m}$ است سرعت اولیه آب در پایاب صفر می‌باشد. شیب طولی کanal صفر و از اثرات اصطکاک چشم پوشی می‌شود. سد به صورت ناگهانی شکسته شده و نتایج عددی (نشانه) و تحلیلی (خط پر) نیمرخ عمق در زمان $t=0.3 \text{ sec}$ در شکل (۱) ارائه شده است. همان‌گونه که ملاحظه می‌شود، نتایج عددی، سازگاری مطلوبی با حل تحلیلی دارد.

۲-۴- پرش هیدرولیکی یک بعدی

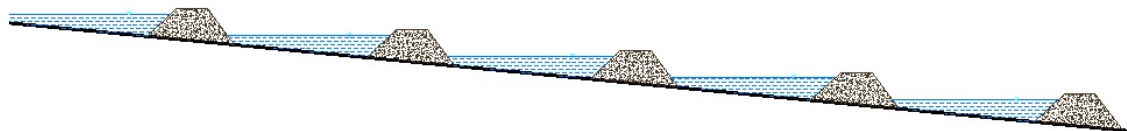
پرش هیدرولیکی در طبقه‌بندی امواج تیز یا ناپیوستگی



شکل ۱ نیمرخ طولی در مسئله شکست سد پس از گذشت $t=0.3 \text{ Sec}$



شکل ۲ مقایسه نتایج عددی و اندازه گیری آزمایشگاهی پرش هیدرولیکی در پایاب یک دریچه



شکل ۳ نیم رخ طولی شماتیک مسئله دایک های متواالی

مقایسه نتایج عددی با آزمایشگاهی، به وضوح نشان می‌دهد که مدل عددی Roe، به خوبی توانمندی مدل‌سازی پرش هیدرولیکی را دارد.

۴-۳- شکست سدهای متواالی ناشی از موج شکست سدهای بالا دست

شکست یک سد در مجموعه چند سد متواالی احداث شده بر یک رودخانه می‌تواند بر شکست سدهای پائین دست، مستقیماً مؤثر باشد. مثال دیگر مربوط به حوضچه‌های پخش سیل است که معمولاً صورت خاکریزهای متواالی در مسیر جریان در مخروط‌های افکنه و با هدف پخش و کنترل سیل و یا تغذیه مصنوعی احداث می‌شود. شکست یکی از خاکریزها در بالا دست باعث ایجاد موج می‌شود، چنان‌چه ارتفاع

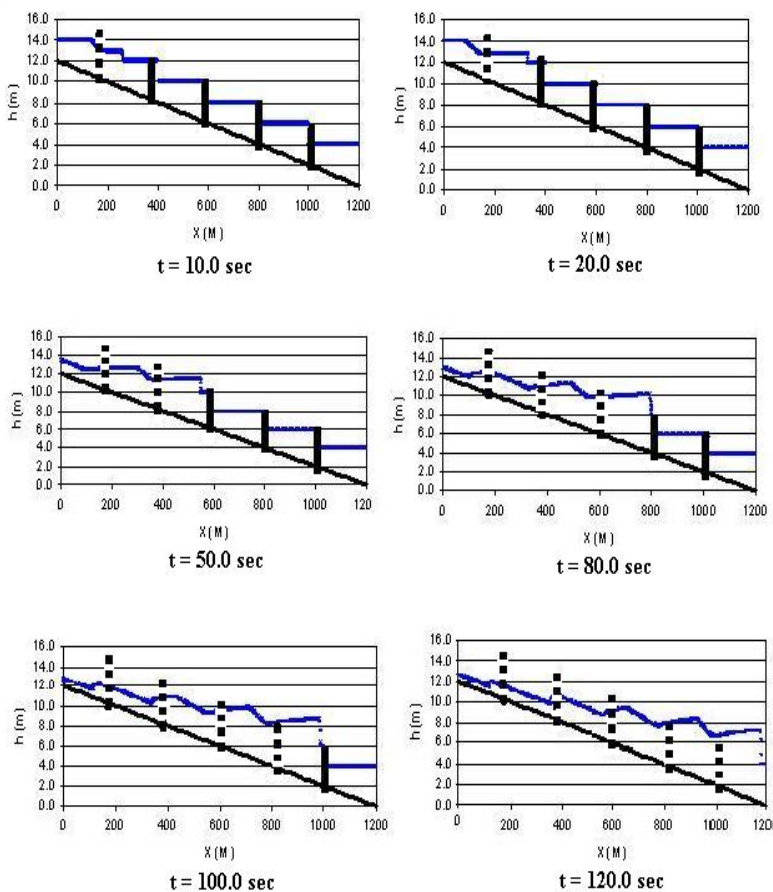
در این بخش، پرش هیدرولیکی ناشی از باز شدن بخشی از یک دریچه کشویی در پایین دست بررسی می‌شود. مسئله فوق در یک فلوم آزمایشگاهی به طول ۱۴ متر، ارتفاع ۰.۹۱۵ متر و عرض ۰.۴۶ متر که در دانشگاه واشنگتن شبیه سازی شده است که در اینجا از نتایج آن استفاده خواهد شد. اندازه گیری عمق جریان برای مسئله‌ای با عدد فرود قبل از پرش برابر $Fr=4.23$ ، انجام شده است. برای مسئله‌ای با هندسه مذکور و ضریب زبری مانینگ $n=0.009$ (زبری کanal آزمایشگاهی)، با استفاده از روش عددی Roe به صورت یک مسئله متغیر زمانی حل گردیده است. در ابتدا برای بررسی زمان رسیدن به حالت دائمی، همان گونه که از شکل (۲) ملاحظه می‌گردد، مسئله پس از گذشت زمان $Sec\ t=400$ به حالت دائمی می‌رسد.

است. شاب طولی کanal برابر $S_0=0.001$ و ضریب زبری اصطکاک $n=0.015$ فرض شده است. دایک شماره یک به صورت ناگهانی شکسته می شود. موج تیز حاصله به سمت پایاب حرکت کرده و پس از رسیدن به دایک شماره دو، باعث شکسته شدن آن می گردد و فرایند به همین شکل ادامه می یابد. نیم رخ جریان ناشی از فرایند فوق الذکر طی زمان های مختلف براساس روش Roe در شکل (۴) ارائه شده است. هیدروگراف عمق جریان در سراب و پایاب دایک ها در اشکال (۵) و (۶) ترسیم شده است. همان گونه که ملاحظه می شود، عمق آب ناشی از شکست چند دایک متوالی به شکل محسوسی نسبت به شکست یک دایک افزایش یافته است.

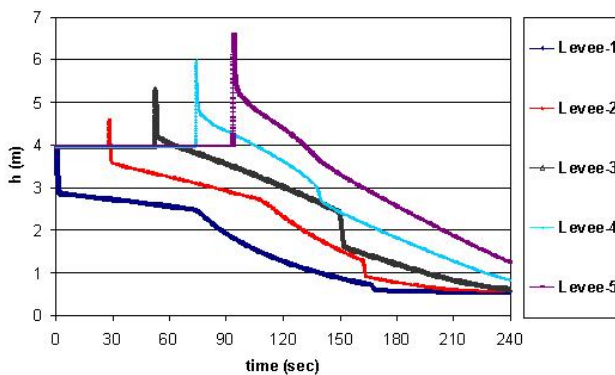
آزاد در حوضچه های پایین دست از ارتفاع موج حاصله از شکست خاکریز به علاوه ای اثرات روراندگی کمتر باشد، خاک ریز دوم شکسته می شود و فرایند می تواند به همین شکل ادامه یابد. در ادامه این مسئله در یک و دو بعد به کمک روش عددی شبیه سازی می شود.

۱-۳-۴- شبیه سازی یک بعدی

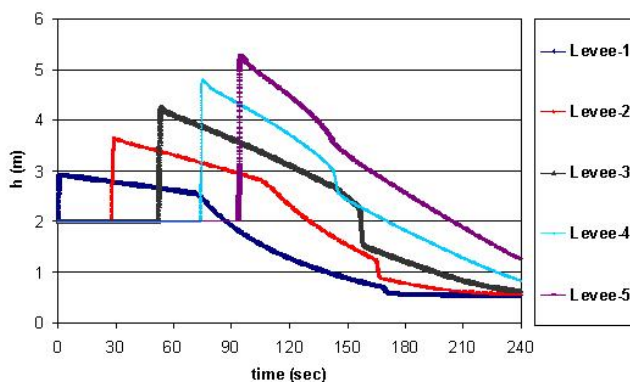
برای مدل سازی عددی مسئله مذکور، یک کanal به طول ۱۲۰۰ متر با پنج سد متوالی را در نظر بگیرید. دایک ها در فاصله های به ترتیب $X_1=200\text{ m}$, $X_2=400\text{ m}$, $X_3=600\text{ m}$, $X_4=800\text{ m}$, $X_5=1000\text{ m}$ از ابتدای بازه مدل سازی قرار دارند. عمق اولیه آب در بالادست و پایین دست تمامی دایک ها به ترتیب برابر ۴ و ۲ متر



شکل ۴ نیم رخ طولی سطح آب در زمان های مختلف در مسئله شکست دایک های متوالی در یک بعد



شکل ۵ هیدروگراف جریان در بالا دست دایک ها در مسئله شکست دایک های متوالی در یک بعد



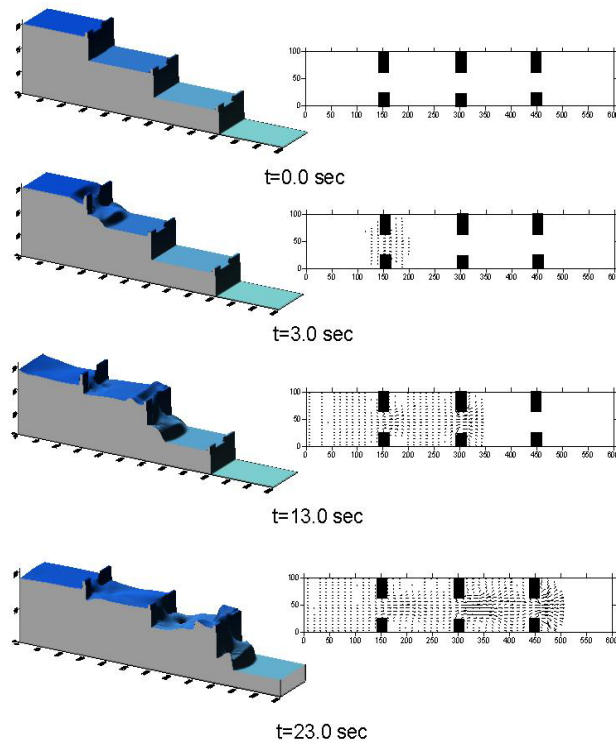
شکل ۶ هیدروگراف جریان در پایین دست دایک ها در مسئله شکست دایک های متوالی در یک بعد

زبری مانینگ $n=0.015$ می باشد.

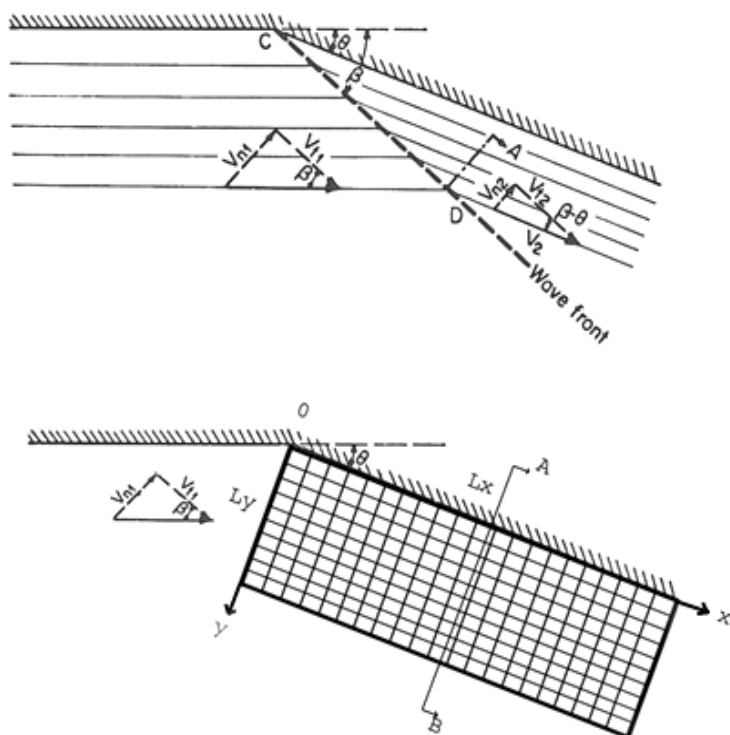
همانند تحلیل یک بعدی مسئله، مکانیزم حاکم بدین شکل است که ابتدا دایک شماره یک به صورت ناگهانی شکسته می شود. موج تیز حاصله به سمت پایاب حرکت کرده و پس از رسیدن به دایک شماره ی دو باعث شکسته شدن آن می گردد و فرایند به همین شکل ادامه می یابد. نمای سه بعدی عمق و توزیع سرعت ناشی از این فرایند در زمان های مختلف براساس روش Roe در شکل (۷) ارائه شده است. همان گونه که ملاحظه می شود، عمق آب ناشی از شکست چند دایک متوالی به شکل محسوسی نسبت به شکست یک دایک افزایش یافته است.

۲-۳-۴- شبیه سازی مسئله در دو بعد

مدل سازی یک بعدی نمی تواند رفتار یک مسئله را بیان نماید، از این رو می بایست از شبیه سازی دو بعدی استفاده نمود. در اینجا یک مسئله فرضی از شکست دایک های متوالی با مکانیزم عملکردی مشابه مسئله یک بعدی در نظر می گیریم. یک بازه ی ۶۰۰ متری با عرض کanal برابر ۱۰۰ متر که سه دایک در موقعیت های $X_1=150$ ، $X_2=300$ و $X_3=450$ متری ابتدای بازه قرار دارند، در نظر بگیرید. موقعیت و طول رخنه ثابت، و برابر ۳۰ متر می باشد که دارای ۳۰ متر فاصله از تکیه گاه راست و ۴۰ متر از تکیه گاه چپ می باشد. ضخامت دایک ثابت و برابر ۱۰ متر فرض شده است. کanal در طول و عرض بدون شبیه و ضربی



شکل ۷ نمای سه بعدی عمق و توزیع سرعت در زمان های مختلف در مسئله شکست دایک های متواالی در دو بعد



شکل ۸ شبکه بندی تفاضل محدود و مرز ورودی جریان

حال با استفاده از مدل TVD مرتبه دوم Roe با انتخاب $\Delta x = 0.2m$ و $\Delta y = 0.2m$ ، مسئله پرش هیدرولیکی مایل شبیه سازی می‌گردد. نتایج حاصله نیم‌رخ عرضی (نیم‌رخ AB در شکل (۸)) واقع در میانه طول L_x در شکل (۹) ارائه شده است. شکل (۱۰) نشان دهنده نمای سه بعدی به همراه خطوط تراز عمق جریان می‌باشد. همان گونه که ملاحظه می‌شود، مدل عددی دو بعدی به خوبی موج تیز ایستا در این مسئله را تسخیر نموده است.

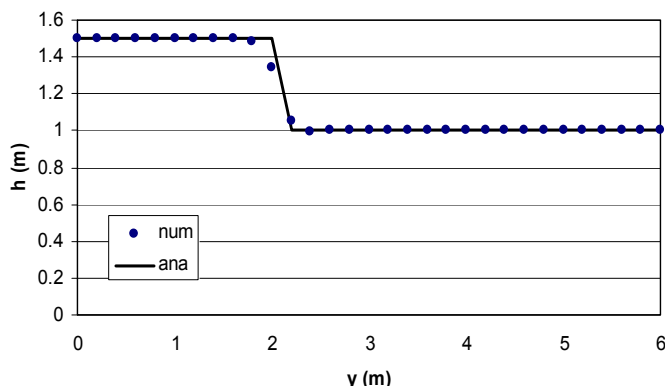
۵-۴ - شبیه سازی جریان در یک خم زاویه‌دار در پلان یک کanal

در بخش قبل، پرش هیدرولیکی مایل که ناشی از برخورد جریان فوق بحرانی با یک دیواره بود، بررسی و مدل سازی شد. در این بخش، شاک‌های مایل حاصل از خم زاویه‌دار در پلان کanal و برخوردهای متواالی آن با دیواره‌های کanal بررسی و تحلیل می‌شود. در شکل (۱۱) کanal، نسبت به مسیر اولیه در پلان به اندازه زاویه θ منحرف شده است.

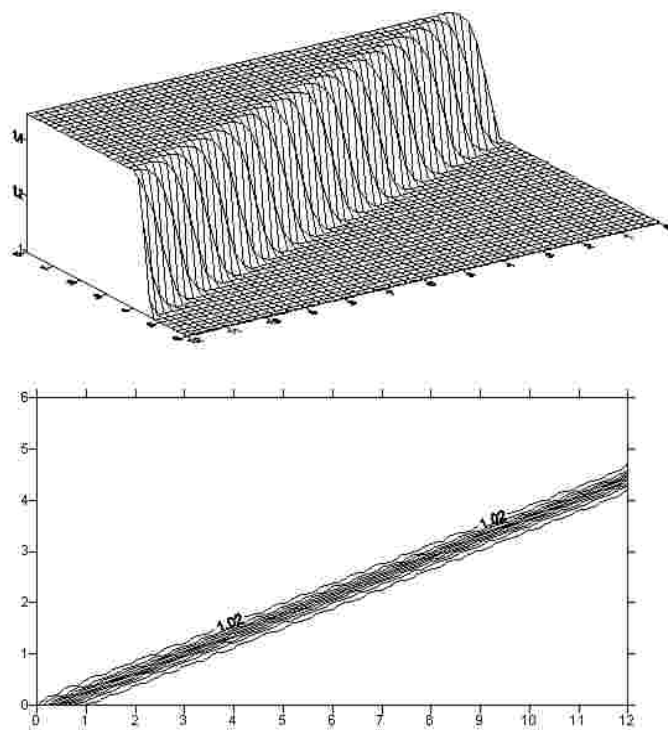
۴-۴- پرش هیدرولیکی مایل

پرش هیدرولیکی، مایل از برخورد یک جریان فوق بحرانی با یک دیواره مایل در مسیر جریان تولید می‌شود. جریان ورودی با مشخصات $V_1=8.57 m/s$ و $h_1=1.0 m$ و $Fr_1=2.74$ به دیواره‌ای که دارای زاویه انحراف $\theta = 8.95^\circ$ است، برخورد می‌نماید. در نتیجه یک موج تیز مایل هیدرولیکی ایستا به وجود می‌آید که نسبت به دیواره دارای زاویه انحراف β است. حل تحلیلی مسئله فوق، موجود است و براساس آن به صورت m/s و $h_2=1.5$ و $V_2=7.955$ و $Fr_2=2.075$ و $\beta = 30.0^\circ$ خواهد بود.

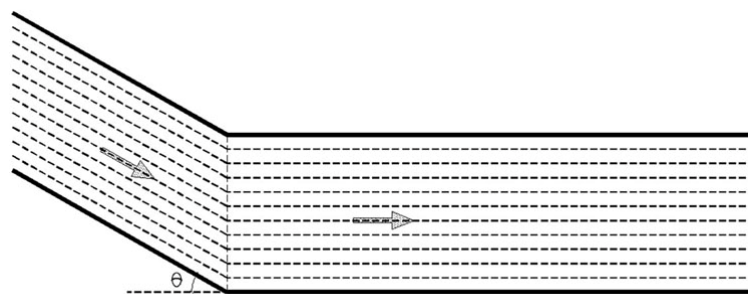
برای حل عددی این مسئله با استفاده از شبکه حجم محدود با المان مستطیلی شکل، یک محدوده 12×6 به موازات دیواره را انتخاب می‌نماییم (شکل (۸)). بنابراین مرز جریان ورودی به محدوده محاسباتی براساس شرایط اولیه جریان به صورت، $v_{t_1} = v_1 \sin \theta$ و $v_{n_1} = v_1 \cos \theta$ در محدوده محاسباتی مطابق شکل (۸)، یک شبکه بنده مستطیلی با ابعاد $L_x=n_x \cdot \Delta x$ و $L_y=n_y \cdot \Delta y$ خواهیم داشت.



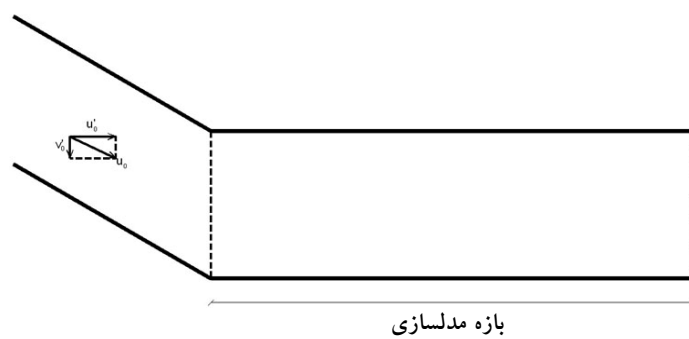
شکل ۹ نتایج عددی و تحلیلی نیم‌رخ عرضی جریان در مسئله پرش هیدرولیکی مایل در دو بعد



شکل ۱۰ نمای سه بعدی به همراه خطوط تراز عمق جریان در مسئله پرش هیدرولیکی مایل در دو بعد



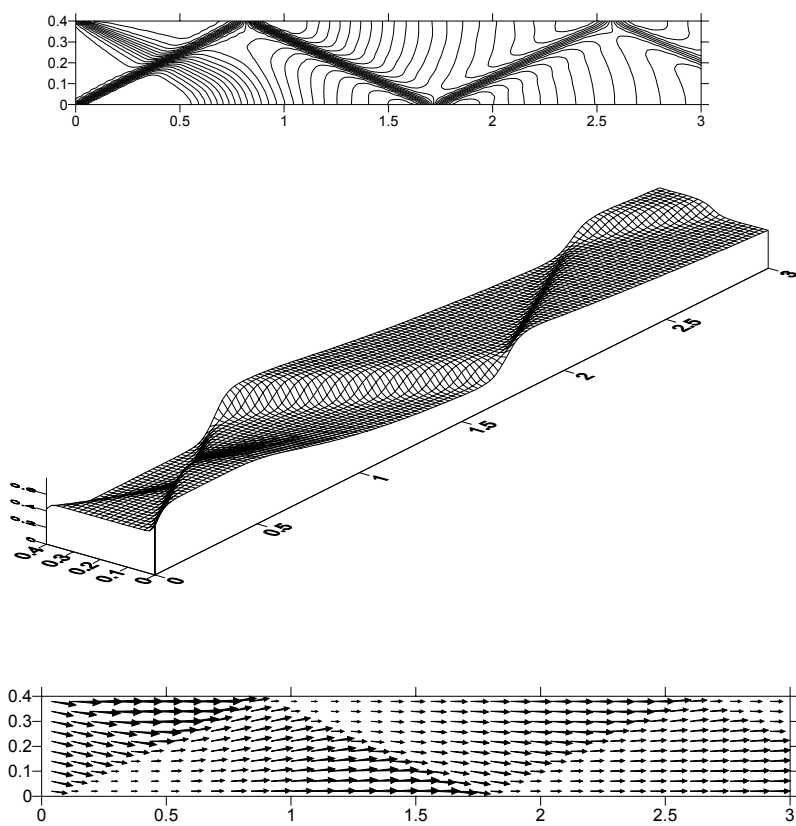
شکل ۱۱ وجود یک خم در پلان کanal



شکل ۱۲ تجزیه بردار سرعت جریان به بردارهای سرعت ورودی به بازه مدل سازی



شکل ۱۳ امواج تیز تولید شده در یک خم زاویه‌دار در پلان در یک کanal آبیاری (قزل سو فلو، ۱۳۸۲)



شکل ۱۴ نتایج عددی حاصله (خطوط تراز عمق جریان، نمای ۳ بعدی عمق و بردار سرعت جریان) با استفاده از مدل Roe برای مسئله خم زاویه‌دار در یک کanal باز

امواج تیز را ندارند. روش‌های ابتدایی بر پایه حل کننده‌های مسئله ریمن، دارای ویژگی تسخیر امواج تیز ایستا و پویا بوده و به عنوان روش‌های «تسخیر کننده موج تیز» شناخته شده‌اند. در این مقاله از حل کننده ریمن به روش Roe که دارای خاصیت کاهش مجموع تغییرات (TVD) تیز هست، برای شبیه سازی امواج تیز استفاده شده است.

در شبیه سازی موج تیز ایستا از داده‌های آزمایشگاهی در شبیه سازی پرش هیدرولیکی در یک کanal آزمایشگاهی استفاده شده و ملاحظه گردید مدل عددی استخدام شده به خوبی توانایی تسخیر موج تیز حاصله را دارد. بنابراین از این مدل برای شبیه سازی امواج پویا ناشی از شکست دایک‌های متوالی استفاده گردید و ملاحظه شد که با شکست دایک متوالی ارتفاع امواج تولید شده، یکی پس از دیگری افزایش می‌یابد و بهتر است در طراحی‌ها لحاظ گردد.

در ادامه امواج تیز دو بعدی مطالعه شده است. در این راستا پرش هیدرولیکی مایل که دارای حل تحلیلی نیز است، استفاده شد و ملاحظه گردید مدل عددی Roe به خوبی قابلیت شبیه سازی موج تیز ایستایی دو بعدی را دارد. در ادامه شکست دایک‌های متوالی در دو بعد مدل شد. پس از آن امواج ایستایی ناشی از وجود یک خم زاویه دار، در پلان یک کanal شبیه سازی گردیده و ملاحظه شده مدل عددی به خوبی قابلیت تسخیر امواج پیچیده حاصله را دارد.

در مسئله‌ای با ابعاد فرضی، مشخصات جریان قبل از خم $h_0 = 5.0 \text{ m}$ و $u_0 = 0.5 \text{ m/s}$ و عدد فرود $Fr=2.26$ می‌باشد. طول کanal برابر $L=3.0 \text{ m}$ و عرض آن را $B_0=0.4 \text{ m}$ در نظر بگیرید. برای مدل‌سازی عددی با استفاده از شبکه بندی مستطیلی، در مرز بالا دست بردار سرعت u_0 به دو جزء سرعت $u'_0 = u_0 \sin\theta$ و $v'_0 = u_0 \cos\theta$ تجزیه شده، شکل (۱۲)، سپس قسمت دوم کanal مدل‌سازی می‌شود. با عنایت به لزوم پیچ‌های اجباری در شبکه‌های آبیاری و انتقال آب در جریان‌های فوق بحرانی، شبیه سازی جریان و ردیابی امواج تیز به وجود آمده حائز اهمیت است.

شکل (۱۳) نمایی از تولید امواج تیز ایستا در یک جریان فوق بحرانی ناشی از یک خم ملايم، زاویه دار در پلان یک کanal آبیاری در تربت جام می‌باشد. مسئله فوق با استفاده از نسخه TVD روش عددی Roe مدل شد. نتایج مدل‌سازی عددی شامل عمق و سرعت جریان در شکل (۱۴) ارائه شده است. همان‌گونه که ملاحظه می‌شود، مدل به خوبی توانایی شبیه سازی الگوی توسعه امواج تیز ایستایی تولید شده در مسئله فوق را دارا است. بررسی دقیق‌تر عملکرد مدل، مستلزم اندازه گیری در یک مدل آزمایشگاهی یا میدانی است.

۵ - نتیجه گیری

روش‌های عددی متعارف به خوبی قابلیت شبیه سازی

مراجع

1. A. Ghezelsofloo, "Numerical Modeling of Shocks' Behavior in Shallow Flows using Advanced Finite Volume Method," Ph.D. Thesis, Faculty of Engineering, Ferdowsi University of Mashhad, 2005.
2. F. Alcrudo and P. Garcia-Navarro, "A High Resolution Godunov-type Scheme in Finite Volumes for the 2D Shallow-Water Equations," International Journal for Numerical Methods in Fluids, Vol. 16, pp. 489-505, 1993.

3. V. Calleffi, A. Valiani and A. Zanni “Finite Volume method for Simulating Extreme Flood Events in Natural Channels,” Journal of Hydraulic Research, Vol. 41, No. 2, pp. 167-177 ,2003.
4. R. J. Fennema and M.H. Chaudhry, “Explicit Method for 2D Transient Free-Surface Flows,” Journal of Hydraulic Engineering. Vol. 116, No. 8, pp. 1013-1034, 1990.
5. A. Ghezelsofloo and M.R. Jaefarzadeh, “Numerical Modeling of Dam-Break Problem with a High Resolution Finite Difference Method,” International Journal of Engineering Science, Vol. 16, No. 4, 2005.
6. A. Ghezelsofloo and M.R. Jaefarzadeh “Numerical Modeling of successive Levee-Break with Roe-TVD Scheme,” 2nd International, conference on Managing Rivers in 21st century, Kuching, Saramak, Maluysia, 2007.
7. P. Glaister, “Approximate Riemann Solutions of the Shallow Water Equations,” Journal of Hydraulic Research, Vol. 26, No. 3, pp. 293-306, 1988.
8. A. Jameson, W. Schmidt and G. Turkel, “Numerical Solution of the Euler Equations by Finite Volume Methods Using Runge–Kutta Time–Stepping Schemes,” AIAA, 14th Fluid and Plasma Dynamics Conference, Palo – Alto Calif. AIAA-81-1259, 1981.
9. R. Le Veque, “Numerical Methods for Conservation Laws,” Birkhauser–Verlag, Basel, 1997.
10. S. Osher, “Riemann Solvers, the Entropy Condition, and Difference Approximation,” SIAM J. Numer. Anal. Vol. 21, No. 2, 1984.
11. P.L. Roe, “Approximate Riemann Solvers, Parameter Vectors, and Difference Schemes,” Journal of Computational Physics, Vol. 43, pp. 357-372, 1981.
12. P. K. Sweby, “High Resolution Schemes Using Flux Limiters for Hyperbolic Conservation Laws,” SIAM J. Numer. Anal., Vol. 21, No. 6, pp. 995-1011, 1984.
13. E. F. Toro, “Shock–Capturing Methods for Free–Surface Shallow Flows,” John Wiley & Sons LTD, 2001.
14. M.H. Tseng, C.A. Hsu, and C.R. Chu, “Channel Routing in Open–Channel Flows with Surges,” Journal of Hydraulic Engineering, Vol. 127, No. 2, pp. 115-122, 2001.
15. J. S. Wang, H.G. Ni and Y.S. He, “Finite-Difference TVD Scheme for Computation of Dam–Break Problems,” Journal of Hydraulic Engineering, Vol. 126, No. 4, pp. 253-262, 2000.
16. D.H. Zhao, H.W. Shen, J.S. Lai and G. Q. Tabios III, “Approximate Riemann Solvers in FVM for 2D Hydraulic Shock Wave Modeling,” Journal of Hydraulic Engineering, Vol. 122, No. 12., pp. 692-702, 1996.
17. C. Zoppou, and S. Roberts, “Explicit Schemes for Dam-Break Simulations,” Journal of Hydraulic Engineers, Vol. 129, No. 1, 2003.